

防波堤開口部における長周期波のエネルギー消散モデル

京大防災研 正員 中村重久

1. 緒言 海岸や港湾にかけた波の制御の目的で、古くから不透過程防波堤が実用化供された。この防波堤はとくに波高減少と波の制御効果が顕著と考えられる。この効果のあらわれた機構として、従来、内部粘性や底面摩擦によるエネルギー損失が検討され(岩垣・林上, 1972)¹⁾、そのほかに防波堤周辺の渦や乱れなどによる波のエネルギー損失が予想されていた。ここでは、微少振幅浅水波のモデルによつて、不透過程防波堤周辺に形成される渦とそのために波の変形がどのようになるかを検討する。

2. モデルの設定 簡単のために、水深が一定で水路幅一定の水路内に図-1のようないわゆる防波堤を設けた場合を考える。

防波堤開口部の流速 u_0 によつて、防波堤背後に渦ができる。この渦のため水面形に凹部ができるが、その変形は無視できる程度に小さくと考えよ。渦の問題を検討するにすぎないが、簡単のため、防波堤背後の渦は円形渦におさかえて考えよとができるものとする。

3. エネルギー・フラックス 進行波が防波堤を通過するとき、半周期の間 ST.1 側に渦ができる場合、次の半周期では ST.2 側に渦ができる。いま、時間 Δt におけるエネルギー・フラックスの収支を図-3の断面 A, B, C について考えよ。
すなわち、

$$BF_1 \Delta t = bF_1 \Delta t + \sum_j \int E_V dV' + \varepsilon \Delta t \quad (1)$$

$$bF_1 \Delta t = BF_2 \Delta t + \varepsilon \Delta t \quad (2)$$

ここで、 E_V は渦による水单位体積あたりのエネルギー消散、

ε は内部粘性、底面摩擦その他の原因によるエネルギー損失。波が渦にエネルギーを供給し、その渦のエネルギーは半周期ごとに消散するものとする。 $\varepsilon \Delta t$ が微小のとき、 Δt を T とするとによつて、波のエネルギー・フラックスに関する(1),(2)より次式が得られる。すなわち、

$$BF_1(T) = BF_2(T) + \sum_j \int \left(\frac{1}{2} \rho u_j^2 \right) dV \quad (3)$$

この(3)の関係は波のビックの半周期をとつても同じである。すなわち、

$$F_i = \left(\frac{1}{16} \right) \rho g H_i^2 \sqrt{\left(gl/2\pi \right) \tanh \left(2\pi h/L \right)} \left(1 + \left(4\pi h/L \right) / \sinh \left(4\pi h/L \right) \right) \quad (4)$$

また、(3)の渦の漏れの積分を渦の占める空間領域にわたして進行する j ($j=1, 2$)

$$I_j = \int \left(\frac{1}{2} \rho u_j^2 \right) dV = \int_0^{R_j} \int_{-h}^0 \int_0^{2\pi} \frac{1}{2} \rho u_j^2 dr \cdot r d\theta \cdot dz = \frac{\pi \rho h}{4} u_0^2 R_j^2, \quad L = L, \quad u_j = \frac{r}{R_j} u_0 \quad (5)$$

$$\text{したがって}, \quad \left(\frac{H_2}{H_1} \right) = 1 - \frac{8\pi h u_0^2 \sum_j R_j^2}{BTg H_i^2 \sqrt{\left(gl/2\pi \right) \tanh \left(2\pi h/L \right)} \left(1 + \left(4\pi h/L \right) / \sinh \left(4\pi h/L \right) \right)} \quad (6)$$

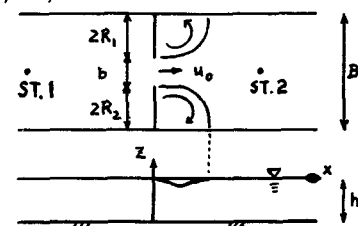


図-1 防波堤のモデル

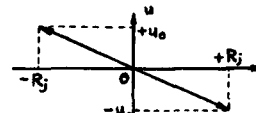


図-2 円形渦モデル

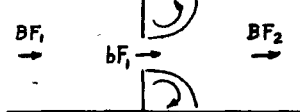


図-3 エネルギー・フラックス

4. 長波近似の場合 $(h/L) \rightarrow 0$ の条件に對して

$$\left(\frac{H_2}{H_1}\right)^2 = 1 - \frac{8\pi h^{1/2} u_0^2 \sum_j R_j^2}{BT H_1^2 g^{3/2}} \quad (7)$$

$b=3\text{ m}$, 長波に対する防波堤開口部にあたる

$$u_0 = \sqrt{gh} \cdot H_1 \quad \text{を用いて} \quad b = 3 \text{ m} \text{ ならば}$$

$$\left(\frac{H_2}{H_1}\right)^2 = 1 - 8\pi \sum_j R_j^2 / (BT\sqrt{gh}) \quad (8)$$

5. 対称性の効果 図-1 で与えた条件により $R_2 = \frac{1}{2}(B-b-2R_1)$.

(6), (7), (8) における $\sum_j R_j^2$ は $(H_2/H_1)^2$ を定めた因子のひとつである。この $\sum_j R_j^2$ の意味は、すなわち、防波堤の対称性に関するものではないならばない。ちなみに

$$F = R_1^2 + R_2^2 = R_1^2 + \frac{1}{4}(B-b-2R_1)^2$$

を考へると、その圓形からわかるように、 $\partial F / \partial R_1 = 0$ の場合

Fは極小値をとる。また、そのとき $(H_2/H_1)^2$ は極大値をとる。図-5 開口部が複数の場合 $\partial F / \partial R_1 = 0$ における $b=B-4R_1$ なる条件が満されないならばどうなるか。結局、防波堤が左右対称の場合、 $(H_2/H_1)^2$ は極大となることを意味している。

しかし、現在までの実験では²⁾このような傾向は確認されていない。これは、図-1 と模型実験との境界条件

に矛盾している問題と考えられる。

$$\text{防波堤が対称の場合には (8) より } (H_2/H_1)^2 = 1 - 16\pi R_1^2 / (BT\sqrt{gh}) \quad (9)$$

6. 複合モデル 防波堤がカステード状に配列されていきる場合(図-4)，隣接した防波堤の影響が相互にのみられないならば、また、防波堤開口部を通過する波の周期、波形などの基本特性に変りがないならば、n組の防波堤を通過した波に以下の

$$(H_{n+1}/H_1)^2 = (H_{n+1}/H_n)^2 \cdot (H_n/H_{n-1})^2 \cdots (H_{k+1}/H_k)^2 \cdots (H_3/H_2)^2 \cdot (H_2/H_1)^2.$$

したがって、防波堤が2段がある場合には、 $(H_2/H_1)^2 = (H_3/H_2)^2 \cdot (H_2/H_1)^2$

しかも、防波堤と波に対する条件を考慮すれば、近似的に $(H_2/H_1)^2 = (H_2/H_1)^4$ 。

開口部が複数ある場合には、たとえば図-5 のようになる。ただし、 $\sum_{jk} R_{jk}$ と考へると $(H_2/H_1)^2 = (H_2/H_1)^4$ である。ただし、この場合、 $u_{0K}=u_{01}=u_{02}$, $R_{02}=R_{11}$ (島堤部に対する) を条件づけなければならない。また、図-4 と図-5 との複合型式も考へることができる。

7. 簡単な計算例 図-1 のような境界条件に対する(9)を數値的に検討すると、たとえば、つぎのようになる。
(a) $B=700\text{ cm}$, $b=80\text{ cm}$ ならば $R_1=155\text{ cm}$, また、 $h=10\text{ cm}$ ならば $(H_2/H_1)^2 = 1 - 17.24/T$ ($T=T_L$, T は波の周期で秒単位)。また、(b) $B=90\text{ cm}$, $b=10\text{ cm}$ ならば $R_1=20\text{ cm}$, また、 $h=10\text{ cm}$ ならば $(H_2/H_1)^2 = 1 - 0.56/T$ 。
また、(c) との(b)の例で $b=30\text{ cm}$ および 50 cm の2つでは、それに対応する $(H_2/H_1)^2 = 1 - 1.25/T$ および $(H_2/H_1)^2 = 1 - 2.23/T$ 。これらの結果は図-6 で特長づけられ、類似の境界条件における実験結果³⁾と比較すると興味ある結論を導くことができる。

参考文献 1) 岩垣・村上: 19海工, '72. 2) 中村: 17海工, '70. 3) 中村: 21海工, '74.

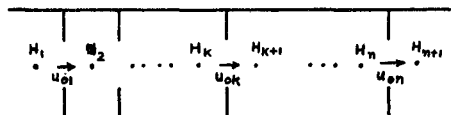


図-4 カステード港湾モデル

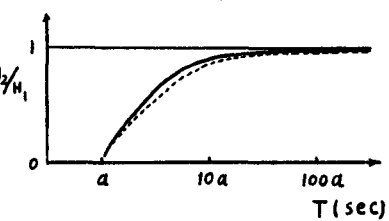
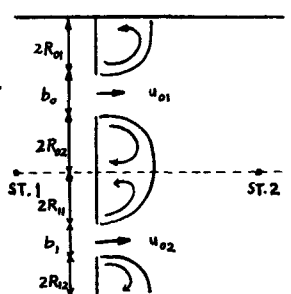


図-6 計算例